

Futures activités CMS et LHCb



1. Contexte labo
2. Faits marquants
3. Futur

1. Contexte labo – Évolution historique

NA38, NA50

(Frédéric, Olivier, Michel, Raphaël) PHENIX *

(Frédéric) Investigation cibles fixes : CHIC , AFTER



CMS...

ERC (Raphael)

ANR (Matthew)

ANR (François)

Théorie...

ANR (François)

LHCb (Frédéric)...

* PHENIX : fin d'activité en 2013, signature automatique de 57 articles sur 2013-18

** Les ANR de François fournissent 1-2 ans de postdoc à CMS

- Le LLR est impliqué dans la physique des ions lourds auprès de CMS et LHCb



CMS as a Detector for Heavy Ion Physics

Fine Grained High Resolution Calorimeter

- Hermetic coverage up to $|\eta|<5$
- ($|\eta|<7$ proposed using CASTOR)
- Zero Degree Calorimeter (proposed)

Tracking μ from Z^0 , J/ψ , γ

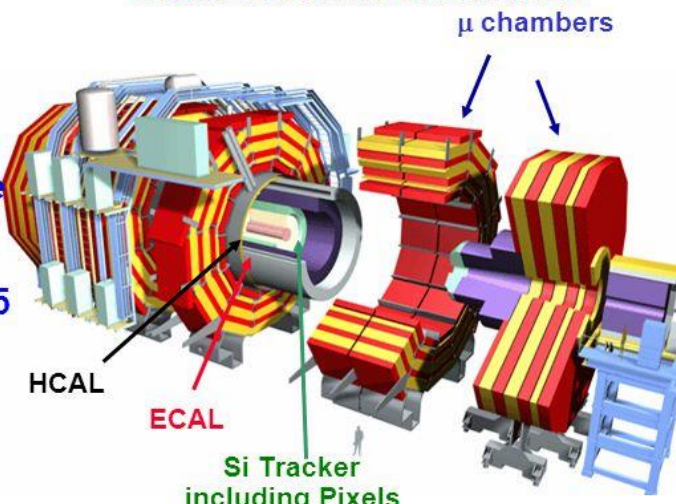
- Wide rapidity range $|\eta|<2.4$
- $\sigma_m \sim 50$ MeV at γ

Silicon Tracker

- Good efficiency and low fake rate for $p_T>1$ GeV
- Excellent momentum resolution $\Delta p/p \sim 1\%$ for $p_T<25$ GeV and higher

Fully functional at highest expected multiplicities

Detailed studies at $\sim 3000-5000$ and cross-checks at $7000-8000$



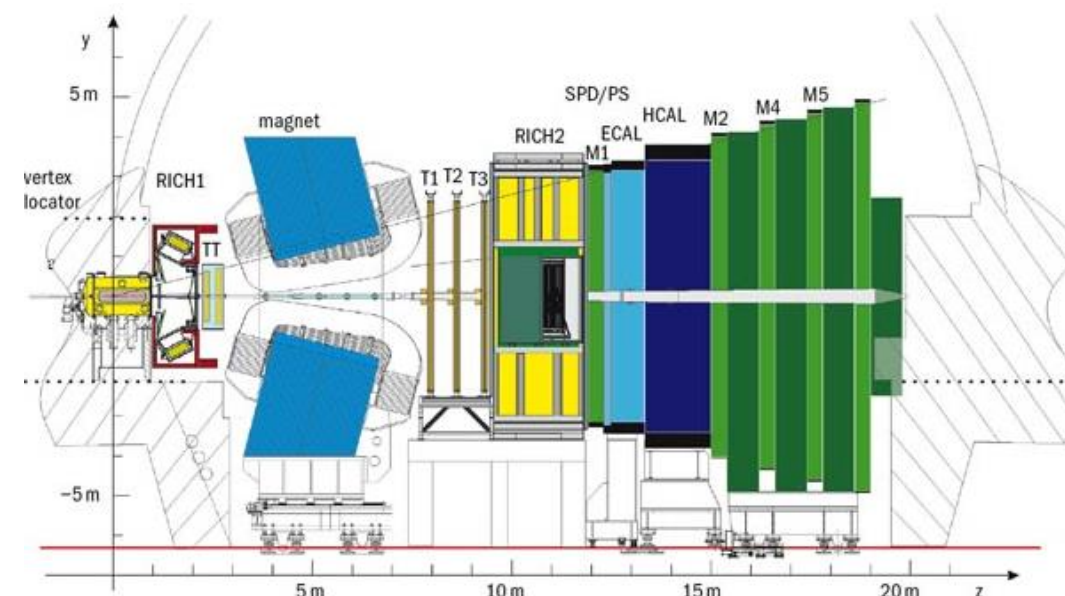
DAQ and Trigger

- High rate capability for AA, pA, pp
- High Level Trigger capable of full reconstruction of most HI events in real time

JINST 3 (2008) S08005
IJMPC 30 (2015) 1530022

LHCb: Single arm spectrometer,
the only LHC experiment fully instrumented in $2 < \eta < 5$
Designed for heavy flavor physics

LHCb can operate $p\text{-Pb}$ and Pb-Pb collisions



Excellent vertex, IP and decay time resolution

$$\sigma(\text{IP}) \approx 20 \text{ }\mu\text{m}$$

Very good momentum resolution

$$\delta p/p \approx 0.5-1\% \text{ for } 0 < p < 200 \text{ GeV}/c$$

Particle identification

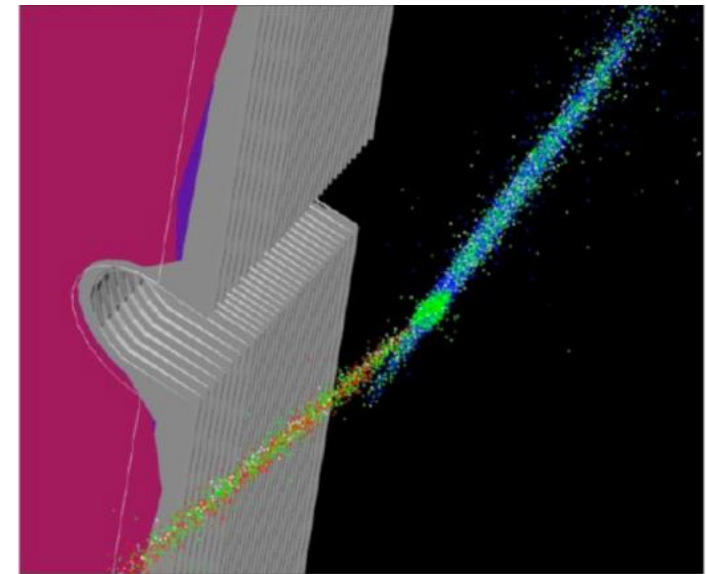
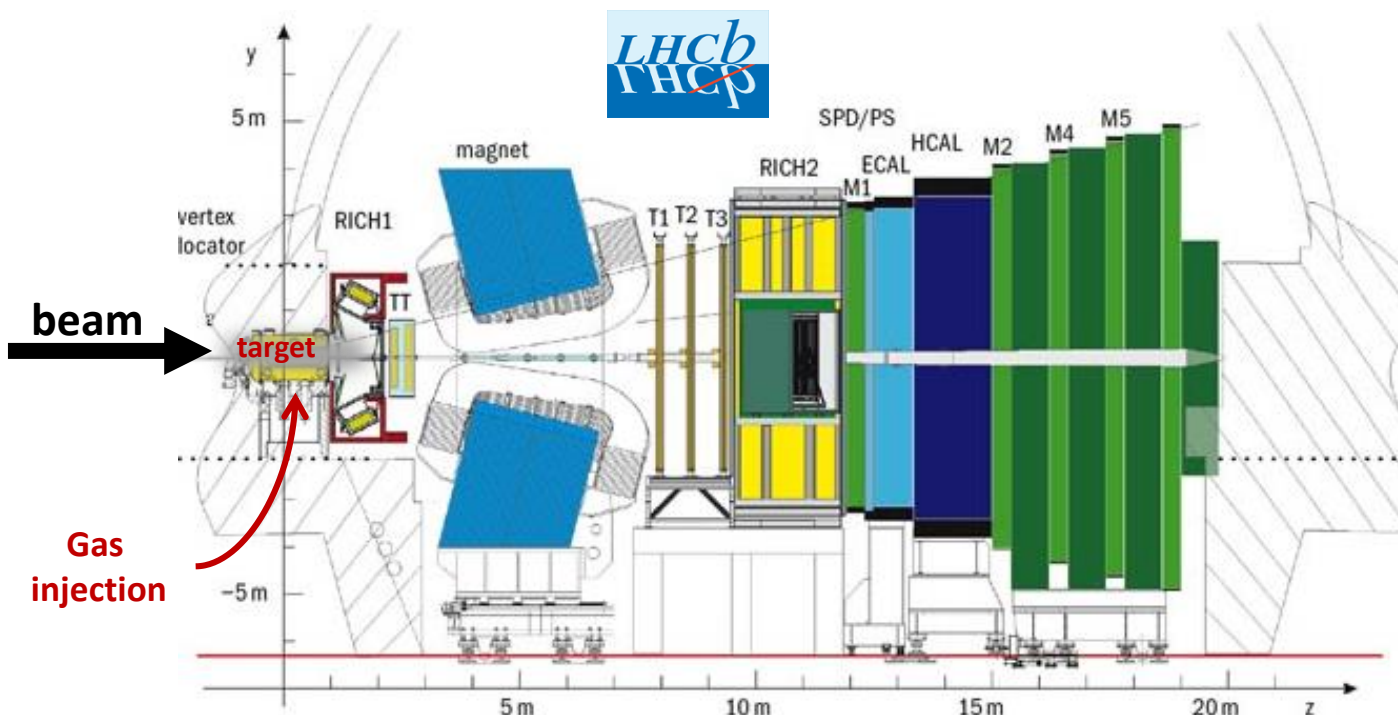
$$\varepsilon_{K \rightarrow K} \approx 95\% \text{ for } \varepsilon_{\pi \rightarrow K} \approx 5\% \text{ up to } 100 \text{ GeV}/c$$

$$\varepsilon_{\mu \rightarrow \mu} \approx 97\% \text{ for } \varepsilon_{\pi \rightarrow \mu} \approx 1-3\%$$

1. Contexte labo - expériences

- **LHCb also operates in fixed-target mode: unique at LHC**

- Injecting gas in the LHCb VErtex LOcator (VELO) tank, primarily done to perform luminosity measurement.
- Can be used as an **internal gas target**
- Allows measurement of p -gas and ion-gas interactions



Distribution of vertices overlaid on detector display. z-axis is scaled by 1:100 compared to transverse dimensions to see the beam angle.

Beam 1 - Beam 2, Beam 1 - Gas, Beam 2 - Gas.

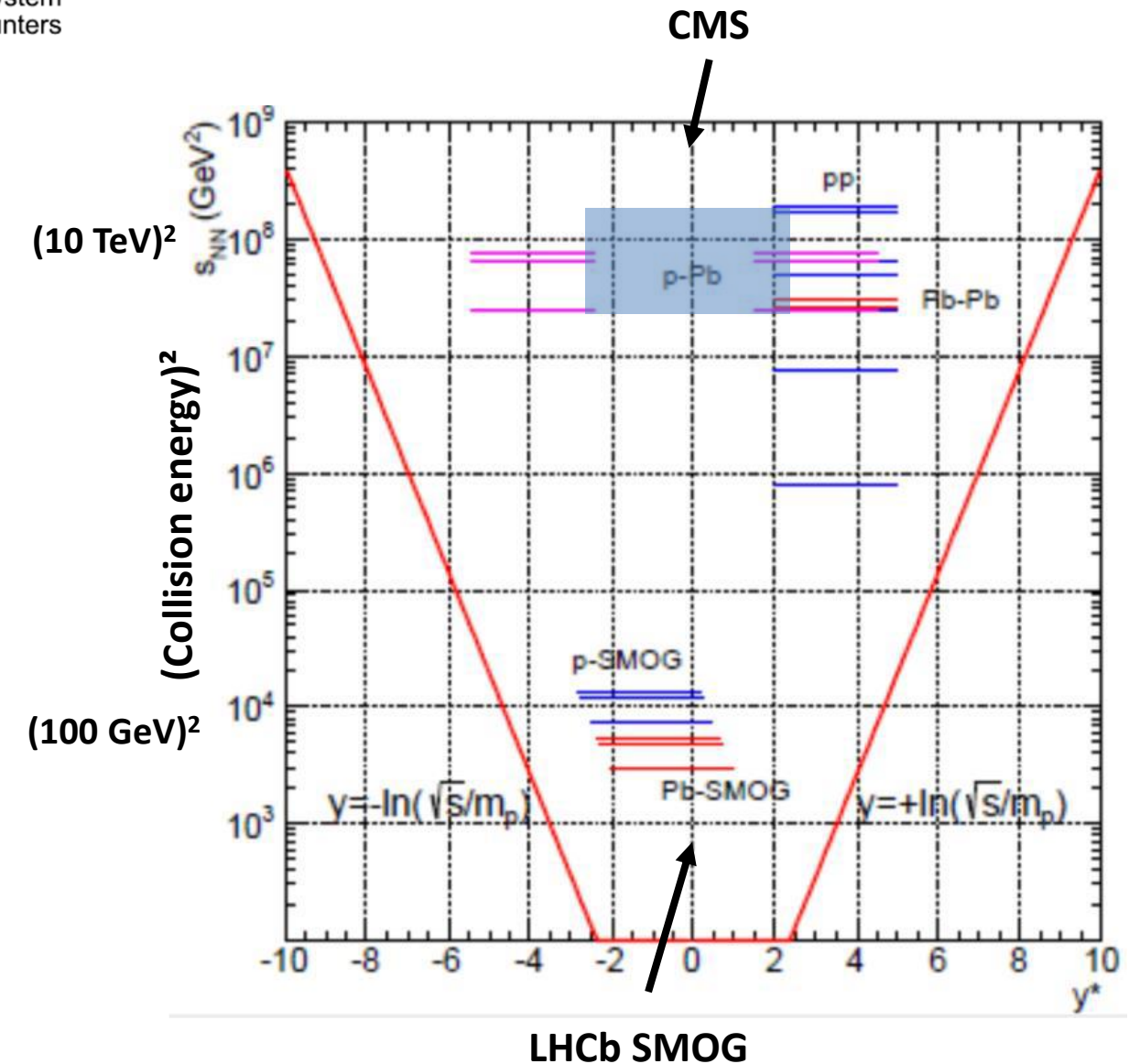
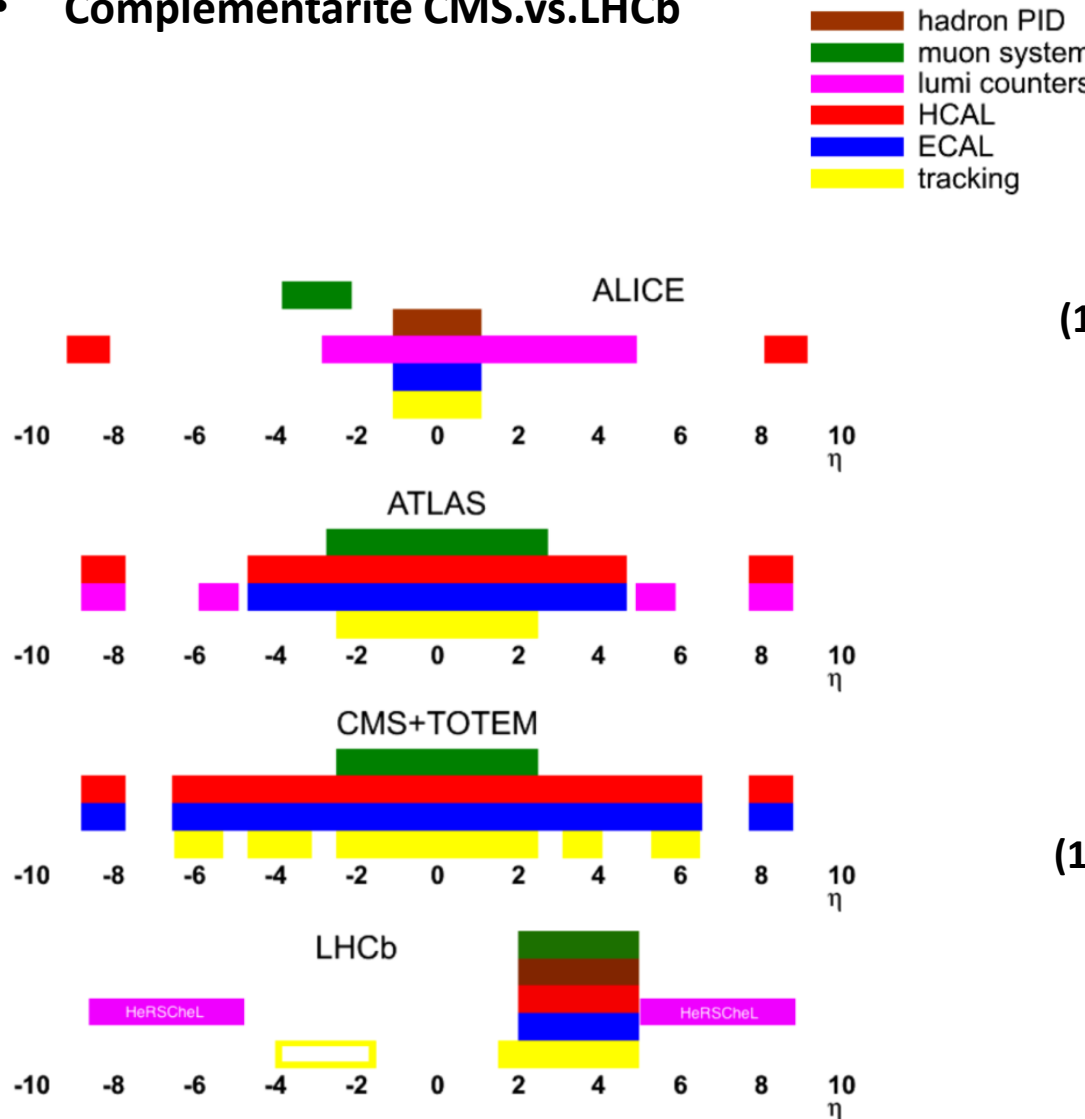
Noble gas only :
(very low chemical reactivity)

He, Ne, Ar, Kr, Xe
 $A = 4, 20, 40, 84, 131$

Gas pressure:
 10^{-7} to 10^{-6} mbar

1. Contexte labo - expériences

- Complémentarité CMS.vs.LHCb



1. Contexte labo – composition actuelle

2 permanents :

- **Matthew Nguyen**, CRCN, HDR, 100% (**jets**)
- **Raphaël GdC**, DR2, HDR, 75% (**quarkonia + electroweak**)

1 postdoc :

- **Inna Kucher**, ANR, 100%, 2017-20 (**jets**)

2 doctorants :

- **Batoul Diab**, ANR, 100%, 2017-20 (**jets**)
- **Guillaume Falmagne**, 100%, 2018-21 (**quarkonia**)

1 permanent :

- **François Arleo**, CRCN, HDR, 100% (associé à CMS)

1 doctorant :

- **Charles Naïm**, P2IO/CEA, 50%, 2017-20

3 permanents :

- **Vladislav Balagura**, DR2, 100% (luminosité)
- **Frédéric Fleuret**, DR2, HDR, 100% (IL, charm@smog)
- **Émilie Maurice**, PAX, 100% (IL, charm@smog)

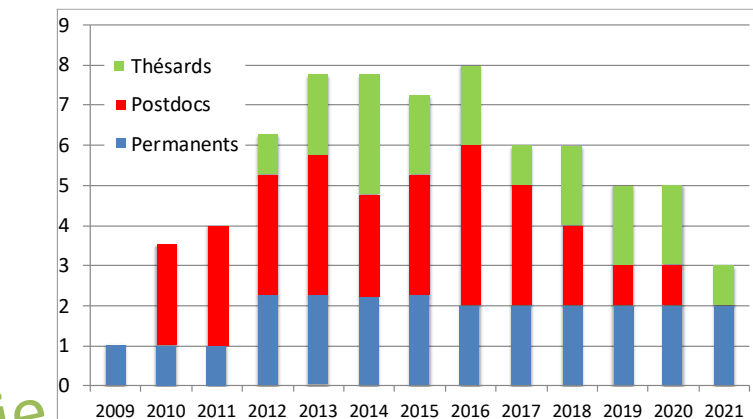
1 postdoc :

- **Benjamin Audurier**, IN2P3, 2019-2020, 100% (IL, LHCb upgrade)

1 doctorant :

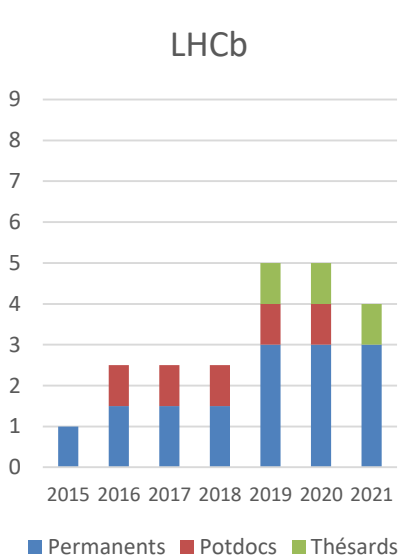
- **Felipe Garcia**, X/LLR, 100%, 2018-21 (IL, charm@smog)

CMS
~ 5



Théorie
~ 1,5

LHCb
~ 5 (~4 IL)



- CMS

- ECAL trigger manager (**Inna**, 2019+)
- Co-convener du PAG « ions lourds » (Matthew, 2014-15)
- Co-convener du PAG « ions lourds » (Raphaël, 2010-11)
- Convener du sous groupe « dilepton » (**Torsten**, **André**)
- Convener du sous groupe « High-pT » (**Yetkin**, **Inna** 2018-2019)
- Member of CMS executive board and LCG-France steering board (Matthew)
- Member of the career, international and heavy-ion publication committees (Raphaël)

- LHCb

- Co-convener du PPWG luminosity (**Émilie**, 2017-18)
- Co-convener du PPWG luminosity (Vladik, 2019-20)
- Co-convener du PAWG Ions and Fixed Target (Frédéric, 2018-19)
- Co-convener du PAWG Ions and Fixed Target (**Benjamin**, 2019-20)



2. Faits marquants



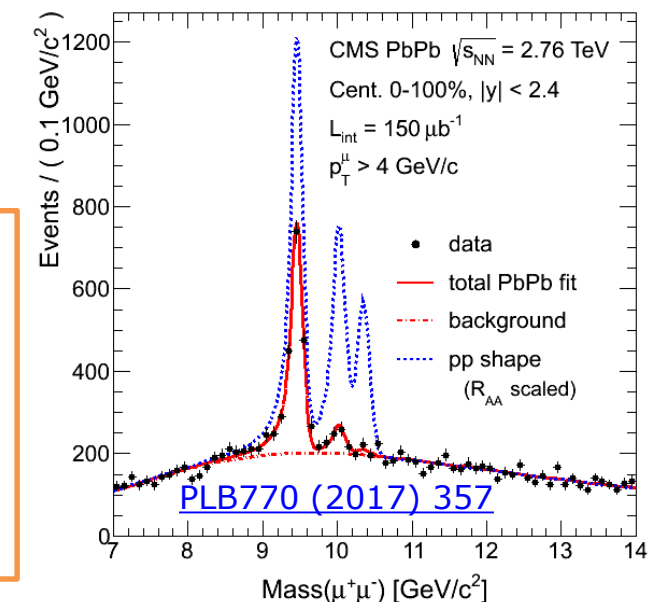
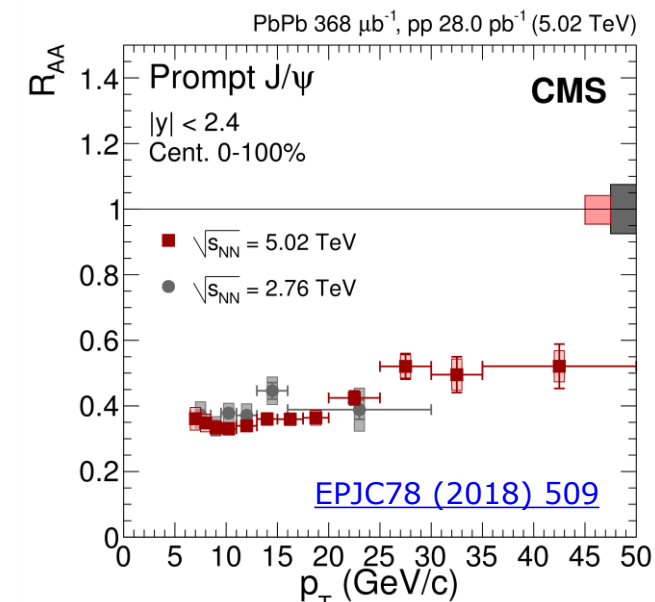
- CMS
- LHCb

2. Faits marquants – CMS

Longue tradition du laboratoire :
NAXX @ SPS, PHENIX @ RHIC

1. J/ψ et ψ' fortement supprimés ($p_T > 3$ GeV)
2. Incluant les J/ψ déplacés → première observation du quenching du b
3. (Première) observation des Upsilon

$\Upsilon(nS)$ pPb & pp in [JHEP04 \(2014\) 103](#), © Camelia
 $\Upsilon(nS)$ legacy in [PLB770 \(2017\) 357](#), © Nicolas → Thèse !
 $\psi(2S)$ in [PRL113 \(2014\) 262301](#), © Torsten
 J/ψ legacy (incl. v_2) in [EPJC77 \(2017\) 252](#), © Mihee
 $\psi(2S)$ @5TeV in [PRL118 \(2017\) 162301](#), © Émilien
 J/ψ @5TeV in [EPJC78 \(2018\) 509](#), © Javier → Thèse (André)



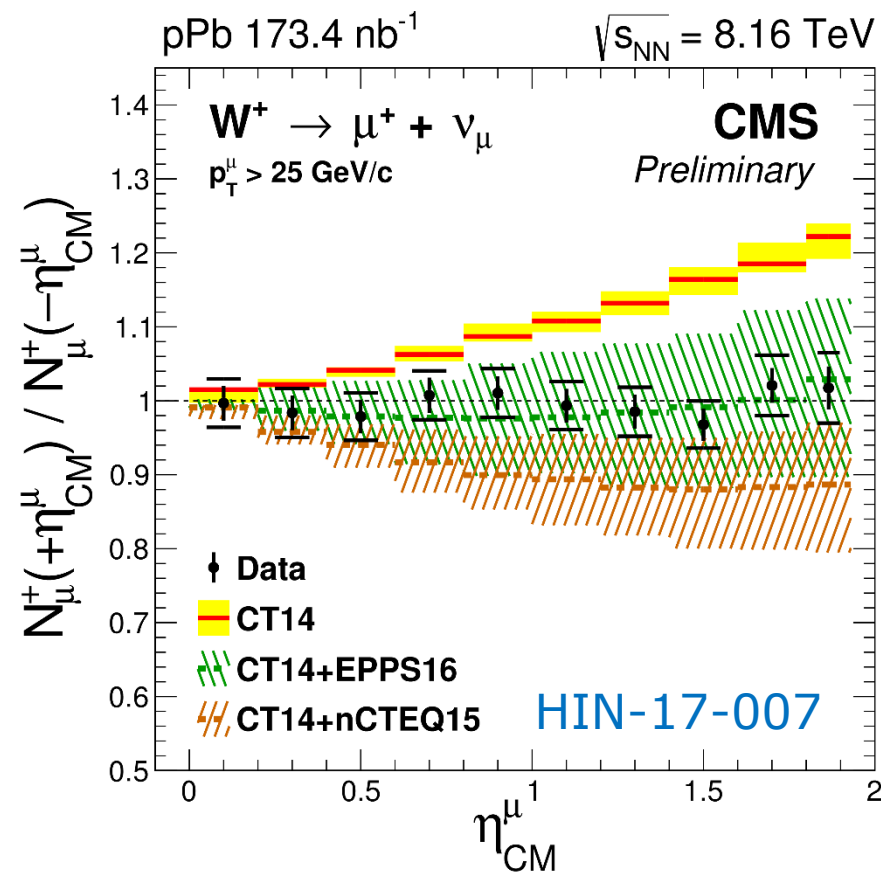
2. Faits marquants – CMS

Leadership des analyses “dileptons”
(muon, électron, neutrino)

4. (Première) observation des Z

5. (Première) observation des W

→ Maîtrise de l’état initial,
contraintes sur les PDFs



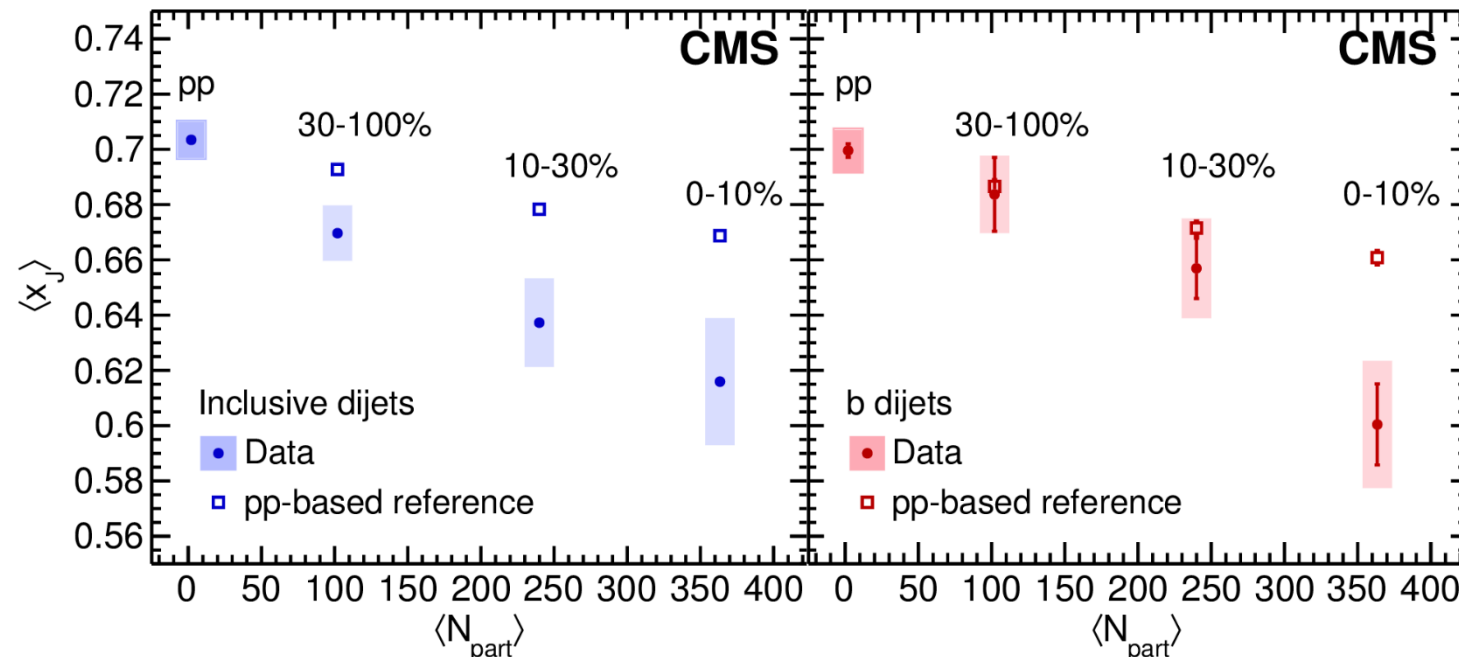
... [JHEP 03 \(2015\) 022](#), $Z \rightarrow \text{muons+électrons}$, ©ontact = Lamia
[PLB 750 \(2015\) 565](#), ©ontact = Alice → Thèse !
[EPJC 76 \(2016\) 214](#), Arleo, Chapon, Paukkunen ← Phéno !
[HIN-17-007](#), ©ontact = André → Thèse !



2. Faits marquants – CMS

Aux premières loges pour la découverte du quenching des jets reconstruits

6. (Première) observation des jets issus de quark b (tagging)

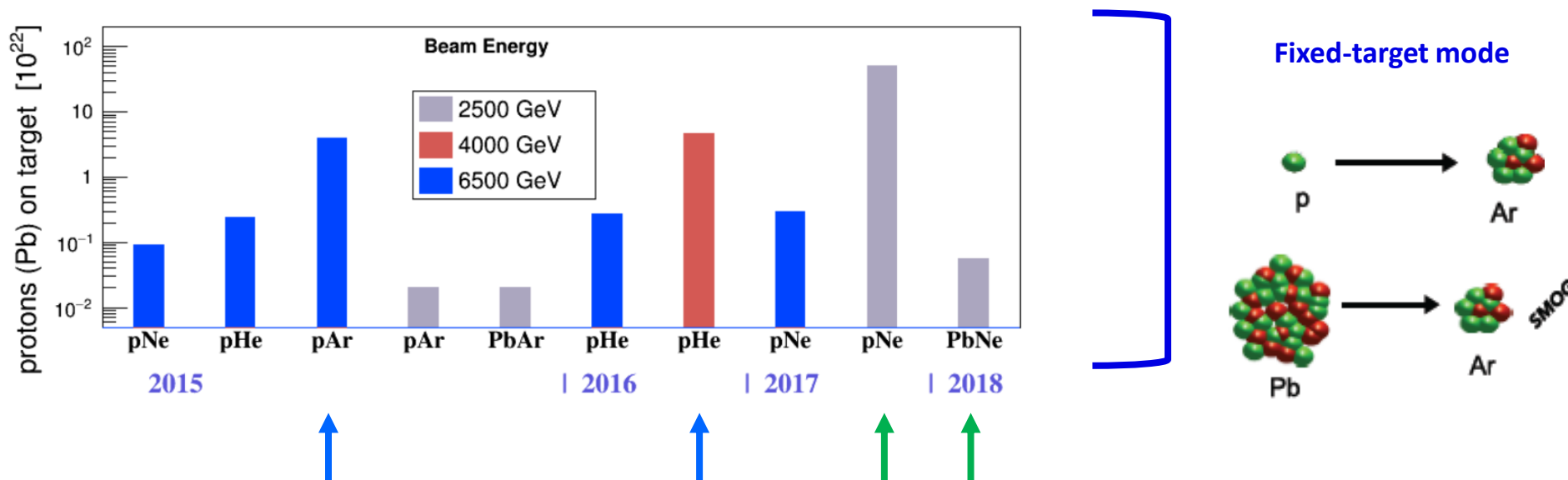


PRL 113 (2014) 132301, ©Contact = Matt
JHEP03 (2018) 181, ©Contact = Stas → Thèse
HIN-18-012, ©Contact = Batoul



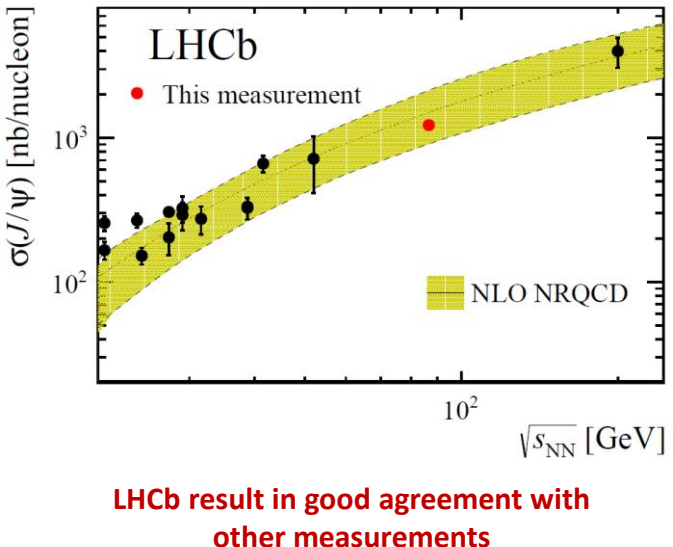
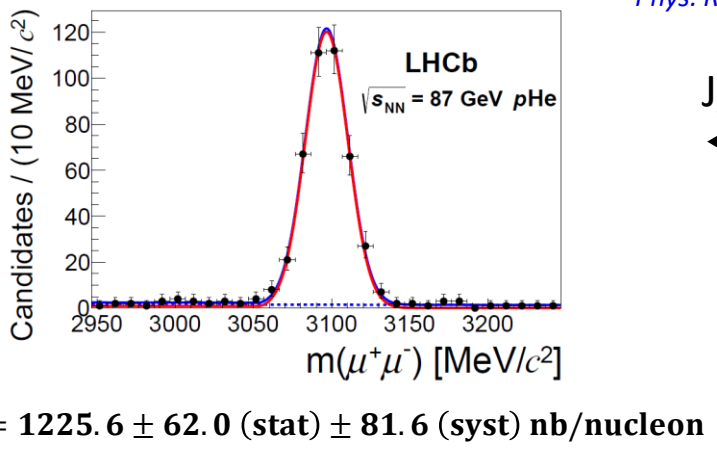
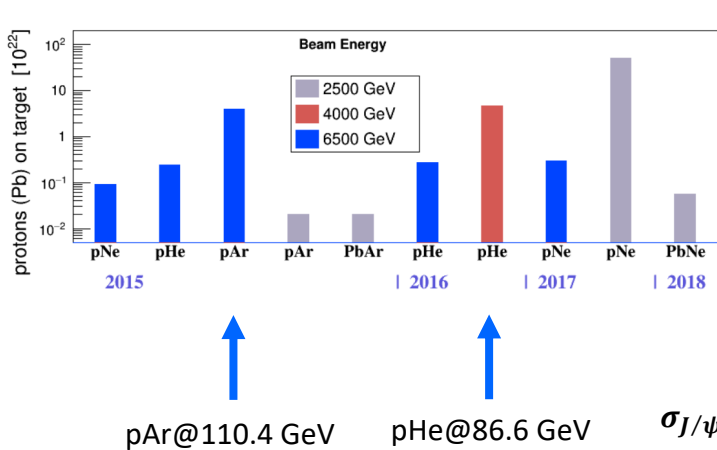
2. Faits marquants – LHCb

- Objectif de physique : caractériser la transition de phase matière hadronique <-> QGP
 - Observable principale: production des J/ψ , $\psi(2S)$, χ_c et D^0
 - Autres observables d'intérêt: Λ_c , DY, dileptons thermiques, Y's
- Phase I (LHC run2) 2015 – 2018: démontrer la faisabilité du programme et démarrer le programme de physique
- Phase II (LHC run 3) 2021 – 2023: mise en œuvre du programme de physique
- Phase III (LHC run 4) 2027 – 2029: extensions possible du programme

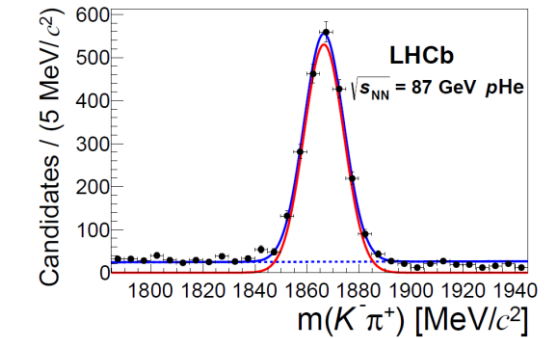
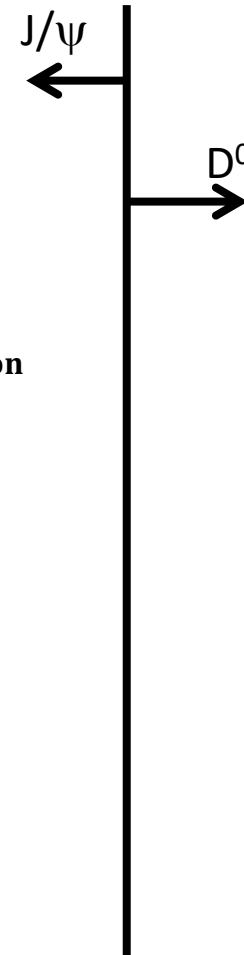


2. Faits marquants – LHCb

- $J/\psi \rightarrow \mu^+\mu^-$ and $D^0 \rightarrow K^\mp\pi^\pm$ inclusive cross sections in pHe @86.6 GeV



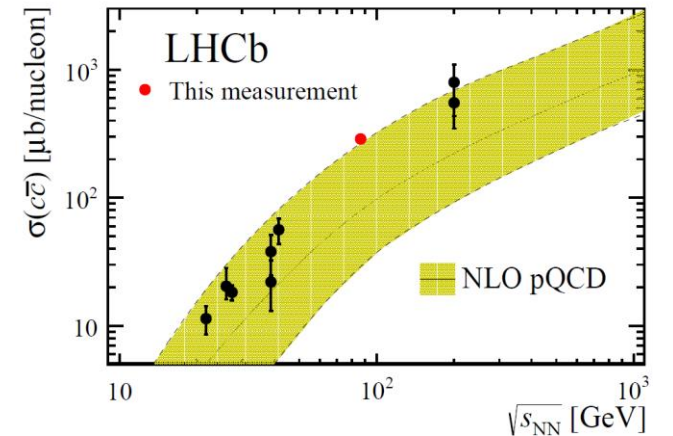
Phys. Rev. Lett. 122 (2019) 132002



$$\sigma_{D^0} = 156.0 \pm 13.1 \mu\text{b/nucleon}$$

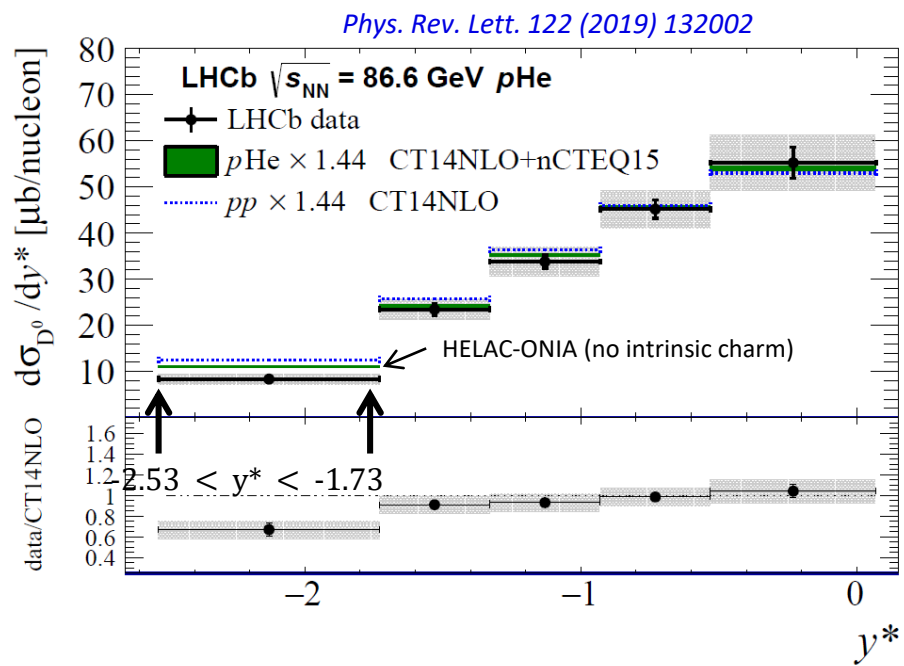
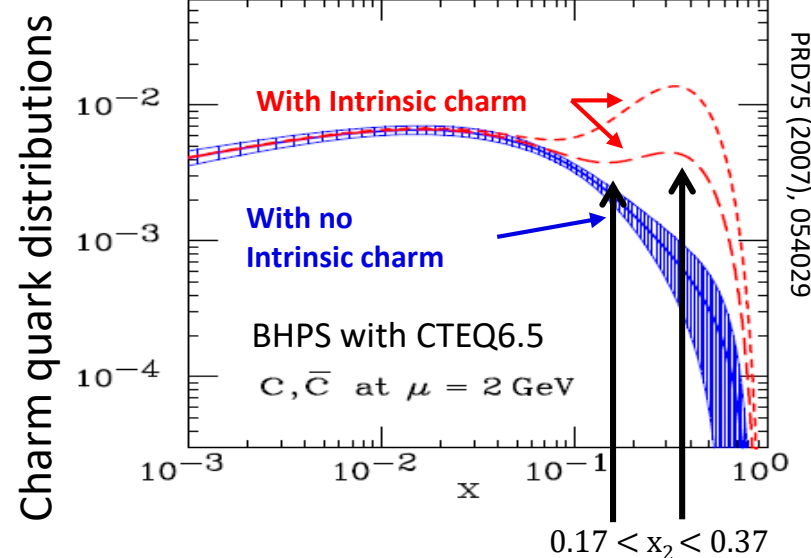
with fraction ($c \rightarrow D^0$) = 0.542 ± 0.024

$$\sigma_{c\bar{c}} = 288 \pm 24.2 \text{ (stat)} \pm 6.9 \text{ (syst) } \mu\text{b/nucleon}$$



2. Faits marquants – LHCb

- **D^0 cross sections ($p\text{He}@86.6 \text{ GeV}$) .vs. Intrinsic charm**
 - HELAC-ONIA predictions for pp (blue lines) and pA (yellow boxes): EPJC(2017) 77:1
 - With $x_2 \simeq \frac{2 \times m_c}{\sqrt{s_{NN}}} \exp(-y^*)$ $y^* \in [-1.73, -2.53] \Leftrightarrow x_2 \in [0.17, 0.37]$



- HELAC-ONIA does not contain intrinsic charm contribution
- **No evidence of strong intrinsic charm contribution**



3. Futur



court terme: 2019 – 2021

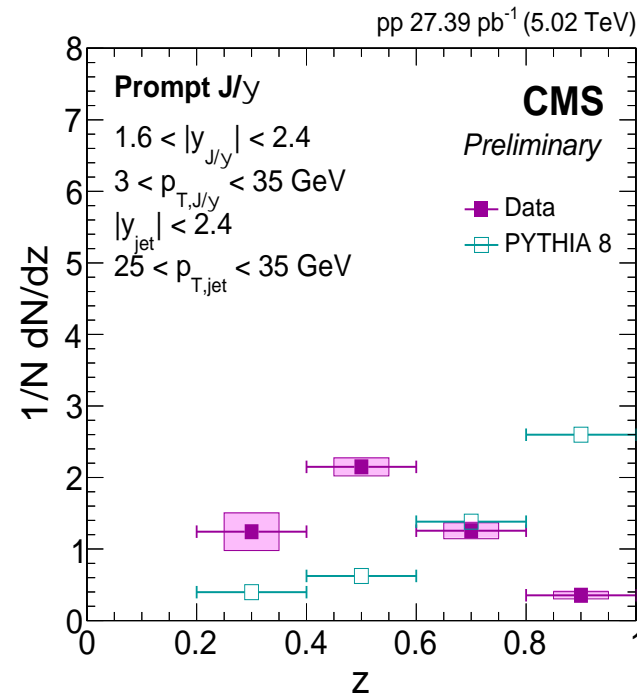
moyen terme: 2021 – 2029

3. Futur court terme – CMS (2019 – 2021)

- Ongoing analysis of 2018 PbPb data (1.85 nb^{-1} , 3x previous PbPb data)

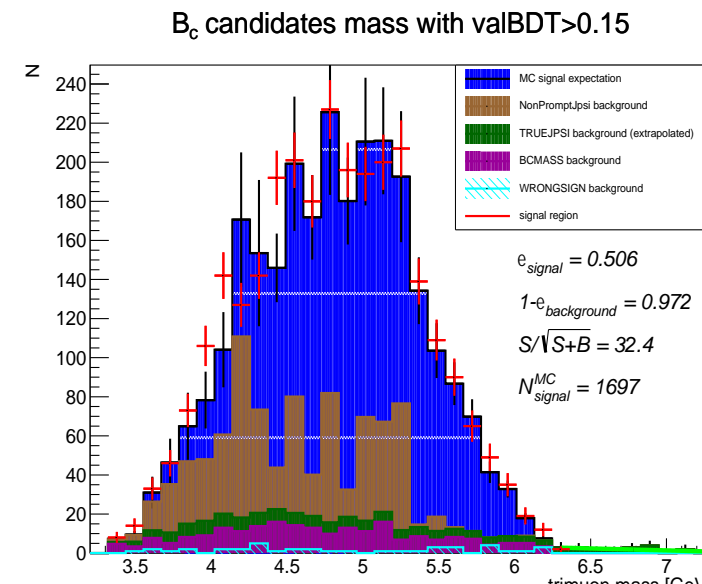
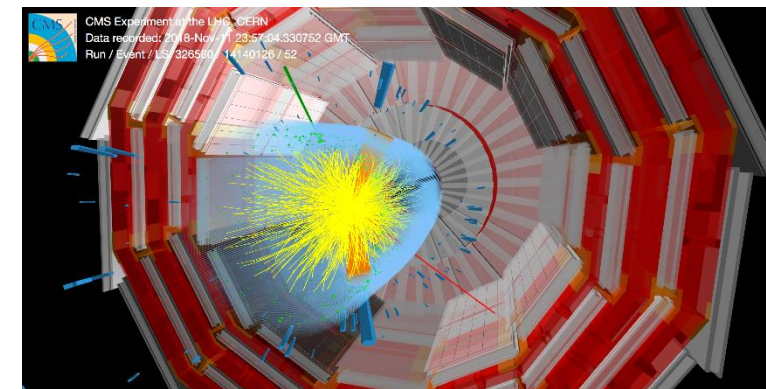
- 1) Observation of top quark (Inna)
- 2) J/ψ -jet fragmentation (Batoul)
- 3) Observation of B_c meson (Guillaume)

All “firsts” for PbPb



J/ ψ jet fragmentation function in pp

A $t\bar{t}$ candidate in 2018 PbPb data
2 b-jets + electron + muon



Trimuon mass distribution for $B_c \rightarrow 3 \mu + \nu$

3. Futur court terme – LHCb (2019 – 2021)

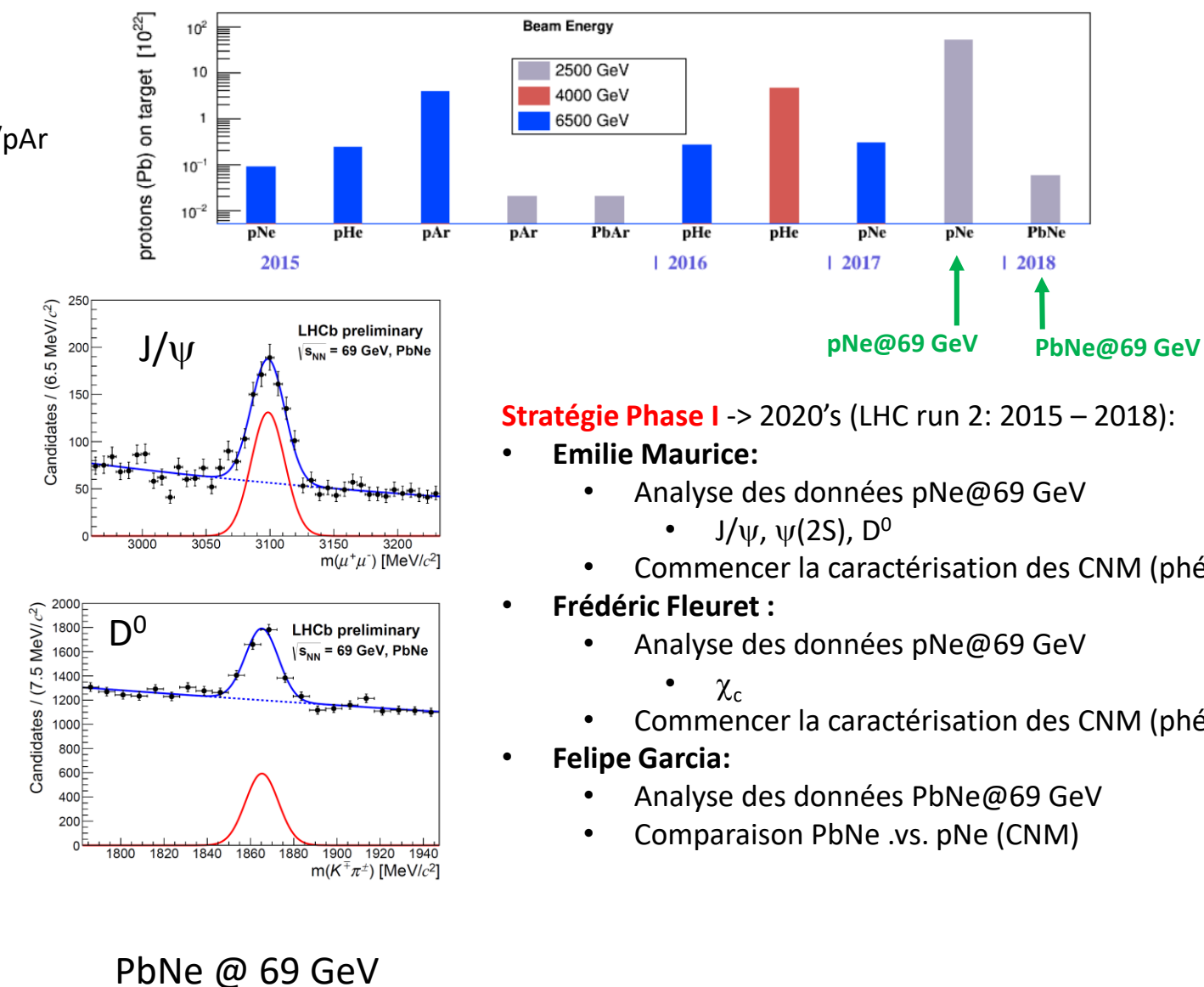
- Finalizing phase I: Run 2 data analysis

- People: Benjamin, Emilie, Felipe, Frédéric
- pNe @ 69 GeV: > x10 stat. increase compared to pHe/pAr
→ give access to $\psi(2S)$ and χ_c
- PbNe @ 69 GeV: ~1k J/ ψ

J/ ψ D⁰

 $\Psi(2S)$

pNe @ 69 GeV



Stratégie Phase I -> 2020's (LHC run 2: 2015 – 2018):

- Emilie Maurice:**
 - Analyse des données pNe@69 GeV
 - J/ ψ , $\psi(2S)$, D⁰
 - Commencer la caractérisation des CNM (phéno)
- Frédéric Fleuret :**
 - Analyse des données pNe@69 GeV
 - χ_c
 - Commencer la caractérisation des CNM (phéno)
- Felipe Garcia:**
 - Analyse des données PbNe@69 GeV
 - Comparaison PbNe .vs. pNe (CNM)

- Programme LHC runs 3/4

	Year	Systems, $\sqrt{s_{\text{NN}}}$	Time	L_{int}
LHC Run 3	2021	Pb–Pb 5.5 TeV	3 weeks	2.3 nb^{-1}
		pp 5.5 TeV	1 week	3 pb^{-1} (ALICE), 300 pb^{-1} (ATLAS, CMS), 25 pb^{-1} (LHCb)
LHC Run 4	2022	Pb–Pb 5.5 TeV	5 weeks	3.9 nb^{-1}
		O–O, p–O	1 week	$500 \mu\text{b}^{-1}$ and $200 \mu\text{b}^{-1}$
	2023	p–Pb 8.8 TeV	3 weeks	0.6 pb^{-1} (ATLAS, CMS), 0.3 pb^{-1} (ALICE, LHCb)
		pp 8.8 TeV	few days	1.5 pb^{-1} (ALICE), 100 pb^{-1} (ATLAS, CMS, LHCb)
	2027	Pb–Pb 5.5 TeV	5 weeks	3.8 nb^{-1}
		pp 5.5 TeV	1 week	3 pb^{-1} (ALICE), 300 pb^{-1} (ATLAS, CMS), 25 pb^{-1} (LHCb)
	2028	p–Pb 8.8 TeV	3 weeks	0.6 pb^{-1} (ATLAS, CMS), 0.3 pb^{-1} (ALICE, LHCb)
		pp 8.8 TeV	few days	1.5 pb^{-1} (ALICE), 100 pb^{-1} (ATLAS, CMS, LHCb)
	2029	Pb–Pb 5.5 TeV	4 weeks	3 nb^{-1}
	Run-5	Intermediate AA	11 weeks	e.g. Ar–Ar $3\text{--}9 \text{ pb}^{-1}$ (optimal species to be defined)
		pp reference	1 week	

3. Futur – moyen terme CMS (2021 – 2029)

Request of 10 nb^{-1} of PbPb and 2 pb^{-1} of pPb, increase of 5x and 10x current data

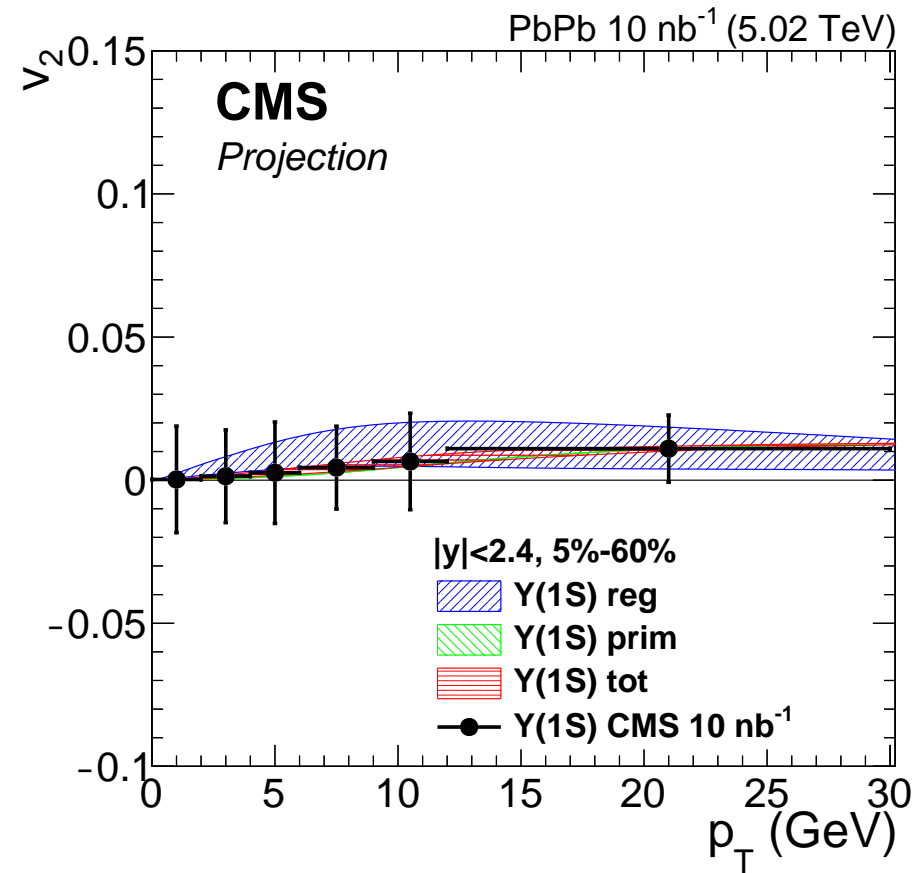
Upgraded detector for HL-LHC era

- MIP timing detector will identify $\pi/K/p$
- Extended forward coverage (from $|\eta| < 2.5$), with reduced material budget
 - Charged hadrons to $|\eta| < 4$
 - Muons to $|\eta| < 3$
- High granularity forward calorimeter

Potential physics targets include

- Ultimate precision EW probes for nPDFs
- Flow of upsilon states
- Isolated photon tagged heavy quark jets

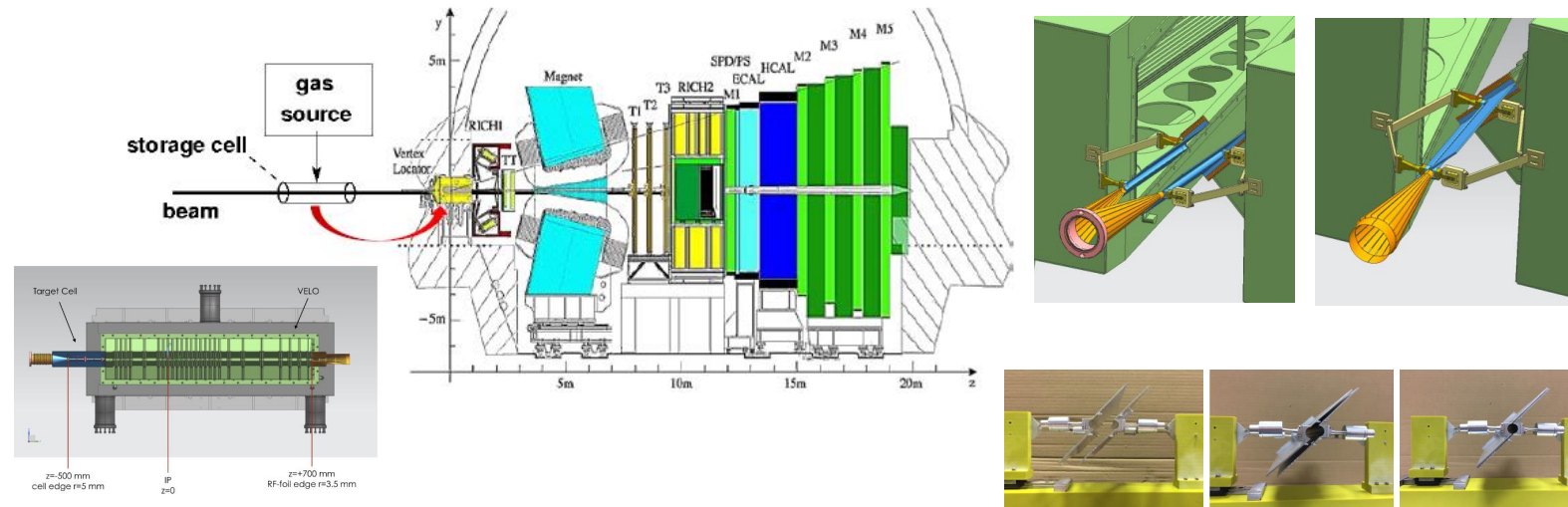
Projection for $\Upsilon(1s)$ flow with 10 nb^{-1}



3. Futur moyen terme LHCb (2021 – 2029)

- L'upgrade SMOG2**

- NIKHEF, INFN-Ferrara, INFN-Frascati
- Installation d'une **storage cell**
 - Diamètre = 1cm, longueur = 20 cm
 - Placée en amont du VELO (-50 à -30 cm par rapport à IP)
 - Augmentation de la **densité** locale de gaz jusqu'à un **facteur 100**
 - Augmentation de la **luminosité** jusqu'à un **facteur 100** par rapport à SMOG
- Fonctionnement à partir de 2021
 - Candidat privilégié pour les run 3 *LHCb early measurements*



Stratégie Phase II -> 2025's (LHC run 3: 2021 – 2023):

- **Emilie Maurice :**
 - contact person for $\psi(2S)/\psi$ early measurements
 - Propose une **thèse** (sep. 2020 -> sep. 2023)
 - Projet **ERC** -> Observing Phase Transition In Matter (OPTIM)
 - Contribution à l'analyse des données
 - **Benjamin Audurier:** (postdoc déc. 2019 ->)
 - **Convenor** IFT jan.19 – jan.21
 - Optimisation et mise en œuvre des simulations pour le run 3
 - Contribution à l'analyse des données
 - **Frédéric Fleuret :**
 - Contribution à l'analyse des données
- Stratégie phase III (2027 – 2029)**
- Dépendante des 1^{er} résultats de la phase II

	Current SMOG result pHe@86 GeV	SMOG largest sample pNe@68 GeV	SMOG2 example pAr@115 GeV
Int. Lumi.	7.6/nb	~ 100/nb	~ 10/pb
syst. error on J/ψ x-sec.	7%	6 - 7%	3 - 4 %
J/ψ yield	400	15k	3.5M
D^0 yield	2000	100k	35M
Λ_c yield	20	1k	350k
ψ' yield	negl.	150	35k
$\Upsilon(1S)$ yield	negl.	10	3k
DY $\mu^+\mu^-$ yield ($5 < M < 9$ GeV)	negl.	10	3k

- **Contexte labo**
 - Le LLR est impliqué dans la physique des ions lourds auprès de CMS et LHCb
 - Très forte visibilité des deux équipes au sein de leur collaboration (cf. responsabilités)
- **Activités**
 - Essentiellement analyse
 - Saveurs lourdes, W/Z, jets
- **Futur court terme**
 - CMS : top quark, J/ψ -jet fragmentation, B_c
 - LHCb : charme pNe@69 GeV et PbNe@69 GeV
- **Futur moyen terme**
 - CMS : high-precision EW probes for nPDF, flow of Υ , isolated photon tagged heavy quark jet
 - LHCb : SMOG2, charme pA et PbA, haute stat.

- **Points forts:**

- Expertises internationalement reconnues (quarkonia, jets...) ;
- Attractivité envers étudiants et postdocs (Marie Curie...) ;
- Interface avec la théorie, présence d'un théoricien associé ;

- **Points faibles:**

- Rapport permanents / non-permanents ;
- Manque d'implication dans les upgrades ;

- **Opportunités:**

- Haute luminosité du run 3, et au-delà ;
- Excellentes performances des détecteurs CMS & LHCb ;
- Dynamisme d'une petite communauté (responsabilités...) ;

- **Risques:**

- Tarissement des sources de financement ;
- Rapport de forces entre expériences.



1. Contexte labo



- Évolution historique
- Expériences
- Composition des équipes et responsabilités

Auto analyse du groupe

- **Points forts:**

- Expertises internationalement reconnues (quarkonia, jets...) ;
- Attractivité envers étudiants et postdocs (Marie Curie...) ;
- Interface avec la théorie, présence d'un théoricien associé ;

- **Points faibles:**

- Rapport permanents / non-permanents ;
- Manque d'implication dans les upgrades ;

- **Opportunités:**

- Haute luminosité du run 3, et au-delà ;
- Excellentes performances des détecteurs CMS & LHCb ;
- Dynamisme d'une petite communauté (responsabilités...) ;

- **Risques:**

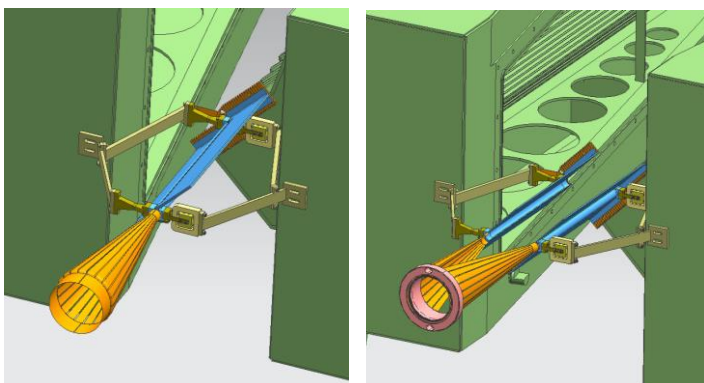
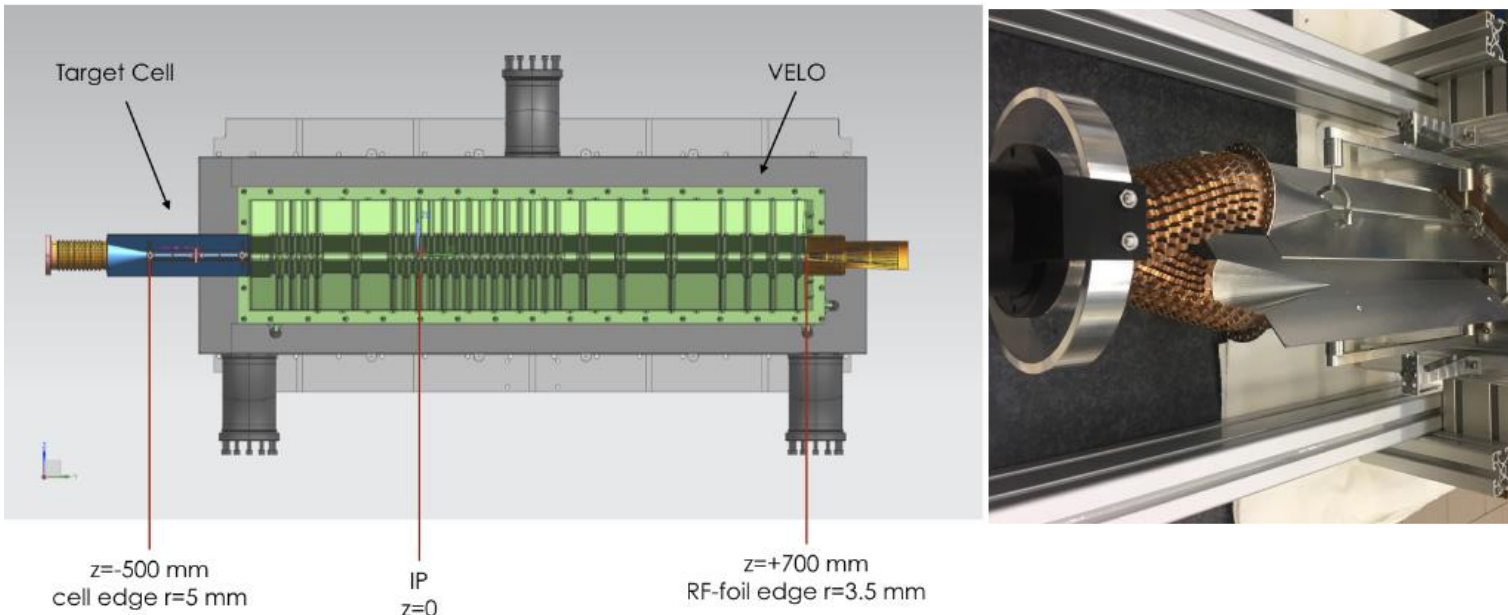
- Tarissement des sources de financement ;
- Rapport de forces entre expériences.

backup

backup

3. Futur moyen terme (2021 – 2025)

- L'upgrade SMOG2



2. Faits marquants – CMS

- Ce qu'on a appris

- 1) Υ states acting as a “thermometer” of QGP
- 2) W constraining nuclear parton distributions
- 3) Energy loss looking increasingly important for the description of J/ψ suppression
- 4) Energy loss of b-quarks in the QGP
 - a) Nonprompt: indication of flavor hierarchy
 - b) b-jets: no sign of quark/gluon difference yet

3. Futur moyen terme (2021 – 2025)

- L'upgrade SMOG2
 - Statistiques attendues

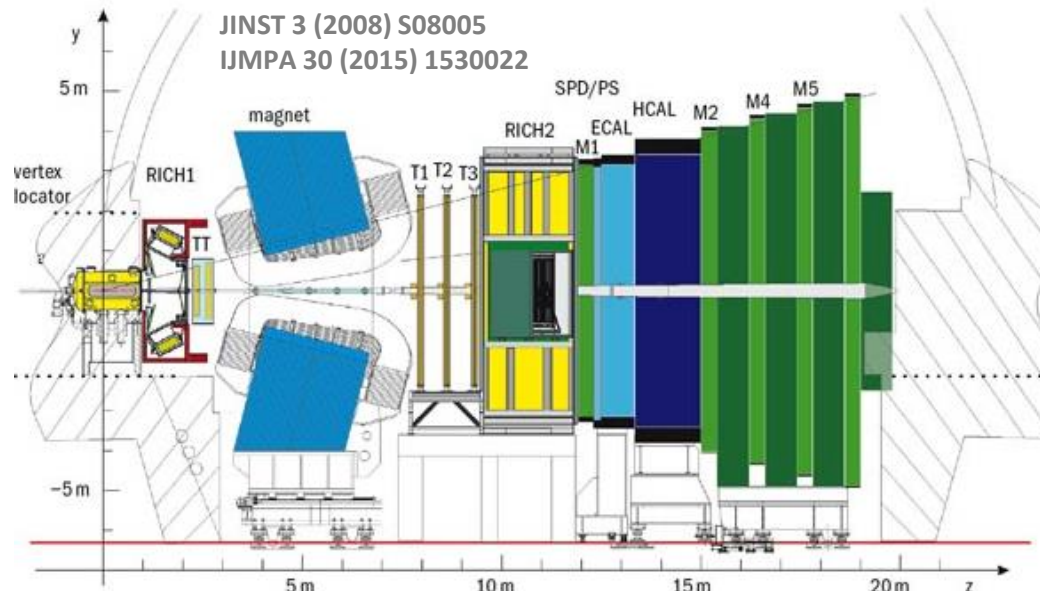
	Current SMOG result pHe@86 GeV	SMOG largest sample pNe@68 GeV	SMOG2 example pAr@115 GeV
Int. Lumi.	7.6/nb	~ 100/nb	~ 10/pb
syst. error on J/ψ x-sec.	7%	6 - 7%	3 - 4 %
J/ψ yield	400	15k	3.5M
D^0 yield	2000	100k	35M
Λ_c yield	20	1k	350k
ψ' yield	negl.	150	35k
$\Upsilon(1S)$ yield	negl.	10	3k
DY $\mu^+\mu^-$ yield $(5 < M < 9 \text{ GeV})$	negl.	10	3k

- **La composante CMS est passée de 10 (au max) à 5 ☹**
- **4 thèses soutenues :**
 - **André Ståhl**, (Raph), PHENIICS, 2018, ([ewk+qq](#)) → postdoc Rice, CMS, HIN
 - **Stanislav Lisniak**, (Matt), Idex, 100%, 2016 ([jets](#)) → privé
 - **Alice Florent**, (Raph) ERC, 100%, 2014 ([ewk](#)) → postdoc UCLA, CMS, exotica
 - **Nicolas Filipovic**, (Raph) ERC, 100%, 2015 ([qq](#)) → postdoc CMS → privé
- **9 postdocs :**
 - **Javier Martin Blanco**, IN2P3, 100%, 2015-18 ([qq](#)) → privé
 - **Mihee Jo**, FKPPL+Marie Curie, 100%, 2015-17 ([qq](#)) → privé (Samsung)
 - **Abdulla Abdulsalam**, X, 100%, 2016-17 ([qq](#)) → Prof en Arabie Saoudite
 - **Yetkin Yilmaz**, ANR+Marie Curie, 100%, 2013-16 ([jets](#)) → Postdoc LAL (machine learning)
 - **Émilien Chapon**, ERC+LLR, 100%, 2013-16 ([qq + ewk](#)) → CERN fellow
 - **Lamia Benhabib**, IN2P3+ERC, 100%, 3,5 ans ([ewk](#)) → Privé
 - **Camelia Mironov**, Marie Curie+ERC, 100%, 4 ans ([qq + ewk](#)) → senior postdoc MIT, [HDR](#)
 - **Torsten Dahms**, ERC, 100%, 3 ans ([qq + ewk](#)) → Postdoc d'excellence, Munich, Alice
 - **Sarah Porteboeuf**, Europe, 100%, un an ([qq](#)) → MdC Clermont Ferrand, Alice
- **3 HDR sur la période → Tous habilités !**
 - **François Arleo (12/02/18)** – Perte d'énergie dans la matière froide
 - **Matthew Nguyen (26/01/18)** – Perte d'énergie dans la matière chaude
 - **Raphaël GdC (12/03/14)** – Le plasma dans PHENIX et CMS

2. Faits marquants LHCb

Single arm spectrometer, the only LHC experiment fully instrumented in $2 < \eta < 5$

Designed for heavy flavor physics



Excellent vertex, IP and decay time resolution

$$\sigma(\text{IP}) \approx 20 \mu\text{m}$$

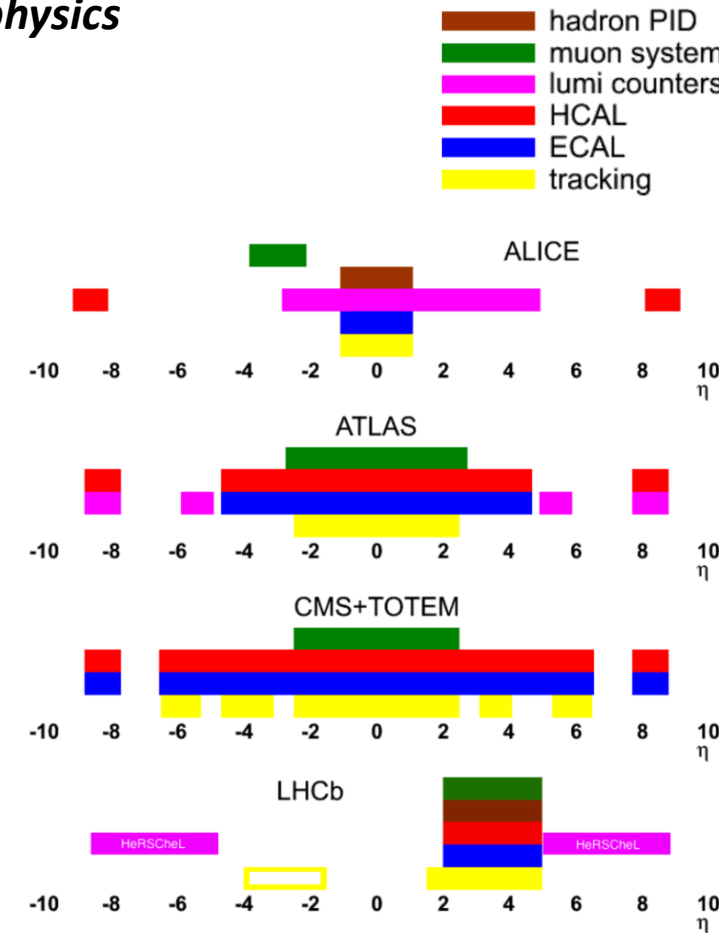
Very good momentum resolution

$$\delta p/p \approx 0.5\text{--}1\% \text{ for } 0 < p < 200 \text{ GeV}/c$$

Particle identification

$$\varepsilon_{K \rightarrow K} \approx 95\% \text{ for } \varepsilon_{\pi \rightarrow K} \approx 5\% \text{ up to } 100 \text{ GeV}/c$$

$$\varepsilon_{\mu \rightarrow \mu} \approx 97\% \text{ for } \varepsilon_{\pi \rightarrow \mu} \approx 1\text{--}3\%$$

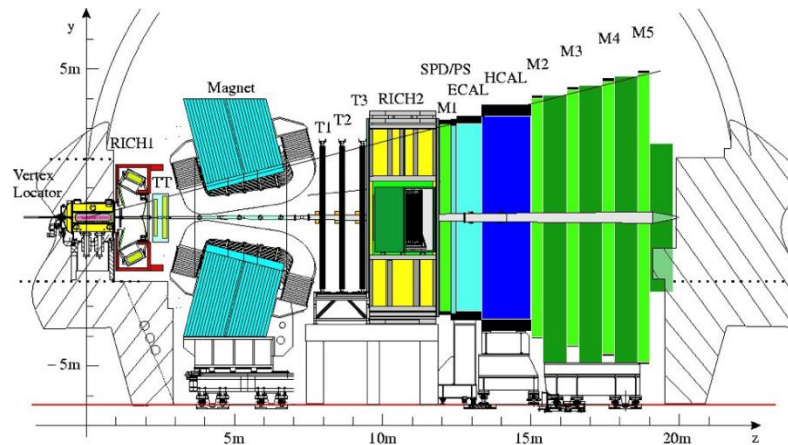


LHCb can operate $p\text{-Pb}$ and Pb-Pb collisions

3. Futur moyen terme (2021 – 2029)

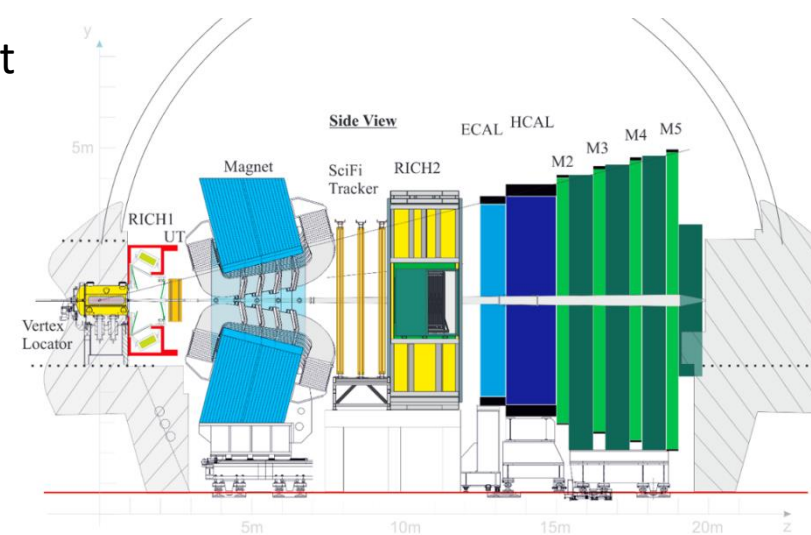
- LHCb upgrade I

Before 2021



Upgrade tracking, trigger, read-out
for 5x larger pp pile-up

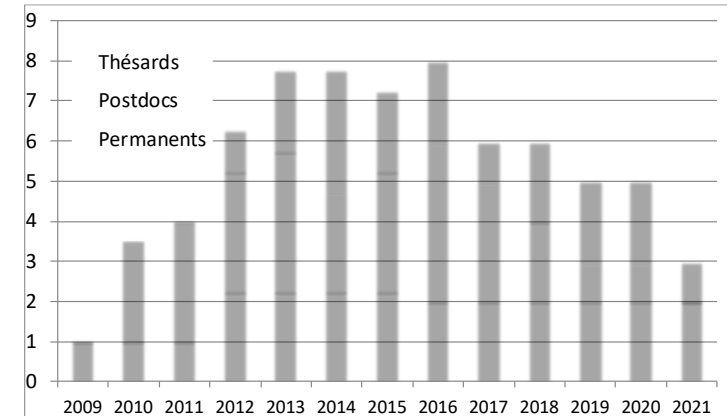
starting 2021



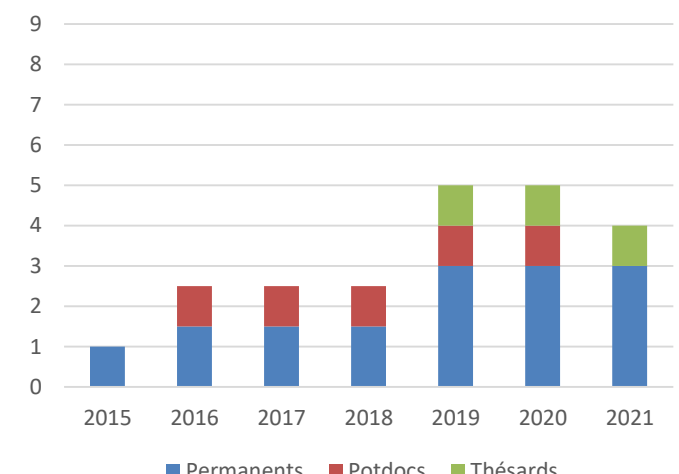
3. Futur – LLR

CMS = peu d'espoir de revenir à l'âge d'or (qqs mois à 10 personnes...)
→ Il faudrait recruter un permanent force de proposition (ERC...)

CMS



LHCb



- **2014**

- Janvier : lors d'un workshop aux Houches, est présenté le système SMOG de LHCb qui permet d'injecter un gaz noble dans l'enceinte du détecteur de vertex. **Frédéric Fleuret** a alors eu l'idée d'exploiter cette potentialité pour réaliser le programme de physique de CHIC (études très précises des quarkonia et saveurs lourdes aux énergies intermédiaires)
- Mars à novembre : preuve de faisabilité avec Patrick Robbe (LHCb @ LAL)

- **2015**

- Janvier : Frédéric présente le projet au groupe LHCb du LAL : excellent accueil
- Février : Frédéric rejoint la collaboration LHCb (associé au groupe LHCb du LAL)
- Octobre : premières prises de données pAr@110 GeV

- **2016**

- Septembre : **Émilie Maurice** (postdoc P2IO) et **Vladislav Balagura** rejoignent le programme au LLR (asso. LAL)

- **2018**

- Première publication de LHCb sur cible fixe
- Début de la thèse de **Felipe Garcia**